

شناسایی دینامیکی یک وسیله‌ی زیرسطحی در حرکت صفحه‌ی با استفاده از روش پاسخ فرکانسی

مهمنگی مکانیک شرف، (پیز ۱۴۵۶) دوری ۳ - ۲۳، شماره ۲، ص. ۳۹-۶۹

افشین بنازاده (استادیار)

دانشکده‌ی هندسی هوافضا، دانشگاه صنعتی شریف

محمدسعید سیف (استاد)

محمدجواد خدائی* (کارشناس ارشد)

دانشکده‌ی هندسی مکانیک، دانشگاه صنعتی شریف

هدف نوشتار حاضر، شناسایی مدل دینامیک خطی حرکت در صفحه‌ی افق یک وسیله‌ی زیرسطحی بدون سرنشین به‌وسیله‌ی برازش توابع تبدیل آن است. شناسایی، تحلیل و تصحیح طراحی چنین وسایلی به‌دلیل غیرخطی بدون دینامیک حاکم بر آن‌ها بسیار پرچالش است. در این نوشتار برای نخستین بار به‌منظور حذف اغتشاشات و عدم قطعیت‌ها از شناسایی حوزه‌ی فرکانس و الگوریتم‌های ریاضی قوی در آن استفاده شده است. در اینجا پس از مدل‌سازی و شیوه‌سازی حرکت دینامیکی، ورودی جاروی فرکانسی در شیوه‌ساز غیرخطی به کترل‌کننده‌ی سکان اعمال شده و با استفاده از تحلیل حوزه‌ی فرکانس توابع تبدیل زوایه‌ی سمت و نزخ چرخش نسبت به این ورودی محاسبه شده است. نتایج حاصله نشان‌گر مطابقت بسیار خوب این مدل معادل خطی با مدل تحلیلی غیرخطی، و عملکرد خوب آن در حضور نویز به‌لطف استفاده‌ی مناسب از توابع طیفی و تکنیک پنجره‌بندی است.

واژگان کلیدی: شناسایی حوزه‌ی فرکانس، زیرسطحی بدون سرنشین، مدل معادل خطی، نرم‌افزار سایفر (CIFER).

۱. مقدمه

مدل دینامیکی که در ابتدا بر مبنای فیزیک جسم و بروش شبیه‌سازی تولید می‌شود هیچ‌گاه کامل نیست و توانایی پیش‌گویی برخی از پدیده‌های طریف غیرخطی را ندارد. هدف از شناسایی دینامیکی یک زیرسطحی، افزایش دقت مدل‌سازی به‌منظور کترول مانور آن است. روش‌های متنوعی برای شناسایی و تخمین پارامترهای یک سیستم از دهه ۵۰ میلادی تاکنون ارائه شده که با افزایش قدرت محاسباتی و توسعه‌ی الگوریتم‌های شناسایی، توجه به سمت حوزه‌ی فرکانس با توجه به مزایای فراوان آن، با اقبال بیشتری مواجه شده است. همچنین با توجه به سهولت تحلیل سیستم‌های خطی و طراحی کترل‌کننده برای آنها، تهیه‌ی یک مدل خطی از سیستم‌ها همواره جایگاه خاصی داشته است؛ این مسئله برای سیستم‌های پیچیده‌تر نظریه‌های پیش‌بینی و سیستم‌های دریابی نیز مطرح بوده است. ارائه‌ی یک مدل خطی از زیرسطحی‌ها در حوزه‌ی فرکانس با توجه به ویژگی‌های منحصر به فرد این حوزه — نظریه‌سهوالت حذف بایاس و انحراف، عدم حساسیت به خطای سنسور اندازه‌گیری و اغتشاشات فرایندی، ایجاد مدل غیر پارامتریک با امکان دست‌یابی به خصوصیات کلیدی دینامیکی و هزینه‌ی محاسباتی کمتر — از مقبولیت بیشتری نسبت به شناسایی حوزه‌ی زمان برخوردار است. یکی از نکات مهم در شناسایی حوزه‌ی فرکانس، استخراج یک مدل

با توسعه و گسترش صنایع دریایی و علوم مرتبط با دریا، امروزه برای انجام بسیاری از کاربردهای کشف و استخراج متابع زیرآبی، بازرسی و جمع‌آوری اطلاعات زیست‌محیطی و نیز نصب، تعییر و نگه‌داری سازه‌های ساحلی و دریایی، به‌کارگیری تکنولوژی‌های خاص و جدید برای پاسخ‌گویی به نیازهای روزافزون پیش‌آمده ضروری می‌نماید. وسیله‌های زیرسطحی خودکار^۱ یکی از قدرتمندترین ابزارها برای تحقیقات در زمینه‌های علمی و تجاری اندکاربردهای متنوعی دارند. در مقاله‌های اخیر تحقیقات پیرامون زیرسطحی‌های بدون سرنشین در کشورهای صنعتی جهان رشد چشمگیری داشته است. علت این موضوع را می‌توان در محدودیت‌های روش‌های کنونی جست‌وجو کرد. نیاز به جست‌وجو در عمق‌های بیشتر و مناطقی که امکان غواصی یا استفاده از زیرسطحی‌های سرنشین دار در آن‌ها غیرممکن است از عمدۀ این دلایل محسوب می‌شود. «شناسایی دینامیکی» فرایندی است که طی آن مدل دقیقی از وسیله، به‌کمک آنالیز پاسخ‌های آن به ورودی‌های معین کترولی به دست می‌آید.

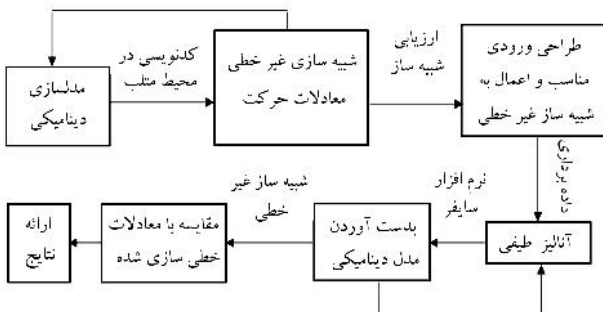
* نویسنده مسئول

تاریخ: دریافت ۲۰/۷/۱۳۹۳، اصلاحیه ۱۲/۳/۱۳۹۴، پذیرش ۲۶/۳/۱۳۹۴.

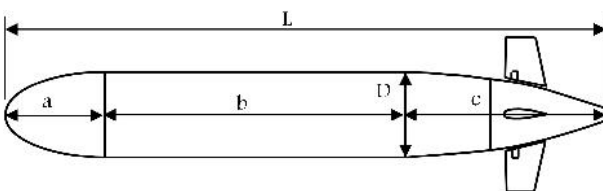
یک ورودی زیگ‌زاگی نتایج هر دو تابع تبدیل مقایسه شده است. نتایج حاصله نشان‌گر آن است که مدل به دست آمده از روش پاسخ فرکانسی در حوزه‌ی فرکانس بسیار غنی‌تر بوده و دینامیک معادل دقیق‌تری به دست آورده است. در شکل ۱ فلوچارت انجام این تحقیق نشان داده شده است.

۲. کلیات زیرسطحی SUT-۲

زیرسطحی SUT-۲ از نوع کروزینگ است که توسط گروهی از دانشجویان کارشناسی ارشد مهندسی دریا در دانشکده‌ی مکانیک دانشگاه صنعتی شریف برای انجام کارهای تحقیقاتی و تحت عنوان «پایان‌نامه» طراحی و ساخته شده است. دماغه‌ی این زیرسطحی بیضی‌گون بوده، قسمت دم یک معادله‌ی درجه ۳ و قسمت میانی یک استوانه را تشکیل داده‌اند. در شکل ۲، هندسه‌ی کلی SUT-۲ نمایش داده شده است. در جدول ۱ نیز ابعاد بدنه، در جدول ۲ مشخصات سطح کنترلی، و در جدول ۳ مشخصات پروانه ارائه شده است.



شکل ۱. فلوچارت انجام مطالعه‌ی حاضر.



شکل ۲. شماتیک بدنه‌ی SUT-۲.

جدول ۱. ابعاد SUT-۲ (برحسب میلی‌متر).

۱۴۱۲	L	طول کل
۲۰۰	D	قطر
۲۲۵	a	طول دماغه
۷۰۶	b	طول استوانه‌ی میانی
۴۷۱	c	طول دم

جدول ۲. مشخصات سطح کنترلی SUT-۲.

۴	تعداد
NACA ^{۰۰} ۱۵	پروفیل
۸۰	وتر (mm)
۱۰۰	دهانه (mm)
۸۸۲۴	مساحت (mm ^۲)
۵۳°	فاصله‌ی محور تراک مرکز شناوری (mm)

خطی از سیستم نیمه‌خطی یا غیرخطی است. بنابراین در حالت غیرخطی بهترین تقریب خطی از سیستم غیرخطی به دست می‌آید که مسلمًا دارای خطاست. این مسئله برای سیستم‌های دریابی که شامل عبارات غیرخطی و پیچیده‌اند، نیز مطرح است.

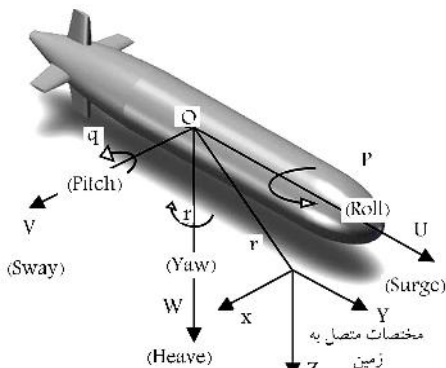
از آنجا که روش‌های شناسایی دینامیکی عمده‌ای و استهه به داده‌های مانور وسیله‌اند، با تدوین یک نرم‌افزار شبیه‌ساز غیرخطی اعتبارسنجی شده داده‌های موردنیاز برای شناسایی تولید خواهد شد. در اینجا مدل ریاضی شامل نیروها و ممانهای هیدرودینامیکی است که به صورت روابط حرکت بین می‌شوند؛ شبیه‌سازی دقیق حرکت زیرسطحی‌ها نیز با حل این روابط و به کمک ضرباب هیدرودینامیکی بدنه امکان‌بزیر است. تاکنون روش‌های مختلفی برای مدل‌سازی زیرسطحی‌ها ارائه شده است.^[۱-۳]

در نوشتار حاضر با استفاده از روش مدل‌سازی فرسن، حرکات این زیرسطحی در محیط متلب^۲ شبیه‌سازی شده که معادلات آن نیز به طور کامل معرفی و اعتبارسنجی شده‌اند. در مطالعه‌ی دیگر^[۴] از روش شناسایی حوزه‌ی فرکانسی برای شناسایی حرکات مانور یک کشتی استفاده شده است. همچنین، شناسایی پارامتریک برای مدل غیرخطی مانور کشتی در حوزه‌ی فرکانس^[۵] مورد مطالعه قرار گرفته است. همچنین مطالعه‌ی مشابه برای مدل خاصی از یک کشتی انجام شده^[۶] که در آن، با استفاده از روش پاسخ فرکانسی و نرم‌افزار سایفر تابع تبدیل دینامیکی کشتی به دست آمده و با کمک این مدل یک کنترل‌کننده PID طراحی شده است. لازم به ذکر است که در شناسایی حوزه‌ی فرکانس سیستم‌های دینامیکی، نرم‌افزار جامعی به نام سایفر وجود دارد که بیشتر در شناسایی وسایل پرنده مورد استفاده قرار می‌گیرد^[۷] و در تعدادی از مطالعات (نظریه مبنی^[۸]) برای شناسایی زیرسیستم‌های مکانیکی مانند یک بازوی انعطاف‌پذیر کاربرد دارد. همچنین شناسایی حوزه‌ی فرکانس یک سیستم^[۹] در حضور غیرخطی لقی و اصطکاک، ارائه شده است. در تحقیق حاضر، از این نرم‌افزار در فرایند شناسایی -- به ویژه در راستای بررسی پاسخ‌های فرکانسی و انطباق آنها -- استفاده شده است.

ویژگی اصلی نوشتار حاضر، شناسایی حوزه‌ی فرکانس یک زیرسطحی است که برای اولین بار ارائه می‌شود. در ابتدا از سیگنال ورودی جاروی فرکانسی به منظور شناسایی استفاده شده است. این کار منجر به تحریک تمامی فرکانس‌های دینامیکی و شناسایی آنها می‌شود. طراحی درست این سیگنال خود دارای نوآوری است. ورودی طراحی شده به وسیله‌ی زاویه‌ی کنترلی بالک‌ها (سکان) به شبیه‌ساز غیرخطی اعمال شده و با استفاده از تبدیل فوریه گسته سریع^۳، آنالیز طیفی داده‌های به دست آمده به کمک نرم‌افزار سایفر انجام می‌شود. با کمک این آنالیز طیفی بازه فرکانسی تحریک زیرسطحی و نهایتاً تابع تبدیل خطی معادل قابل استخراج خواهد بود. همچنین به منظور افزایش مقاومت نسبت به اغتشاشات اندازه‌گیری و عوامل غیرخطی موجود در دینامیک سیستم، از شیوه‌ی پنچره‌بندی استفاده شده که منجر به حذف خطاهای تصادفی و افزایش مقدار تابع همبستگی -- معیار مناسب ارزیابی شناسایی انجام شده -- استفاده شده است. در ادامه، برای مقایسه‌ی بیشتر و ارزیابی مدل به دست آمده، معادلات خطی تحلیلی را نیز به دست آورده و با اعمال

جدول ۳. مشخصات پروانه‌ی زیرسطحی ۲.SUT-۲.

نوع پروانه	گام ثابت (FPP)
تکی	
سری	X482 (Octura)
تعداد پره	۲
قطر (mm)	۸۲
گام (mm)	۴/۱



شکل ۴. مشخصات متصل به بدنه و متصل به زمین.

و در آن τ نیروهای پیش‌رانش و کنترلی، M_A ماتریس جرم افزوده، $C_{A(v)}$ ماتریس گریز از مرکز و کریولیس جرم افزوده، $D_{(v)}$ عبارت میرایی هیدرودینامیکی و $g_{(\eta)}$ نیروها و گشتاورهای بازدارنده است. در نهایت معادلات ۶ درجه آزادی به صورت معادلات ۱-۳ تا ۶-۳ است: [۱۵]:

$$m \begin{pmatrix} \dot{u} - vr + wq - x_G (q' + r') + \\ y_G (pq - \dot{r}) + z_G (pr + \dot{q}) \end{pmatrix} = \sum X \quad (1-3)$$

$$m \begin{pmatrix} \dot{v} - wp + ur - y_G (p' + r') \\ + z_G (qr - \dot{p}) + x_G (pq + \dot{r}) \end{pmatrix} = \sum Y \quad (2-3)$$

$$m \begin{pmatrix} \dot{w} - uq + vp - z_G (p' + q') \\ + x_G (rp - \dot{q}) + y_G (rq + \dot{p}) \end{pmatrix} = \sum Z \quad (3-3)$$

$$\begin{aligned} I_X \dot{p} + (I_Z - I_Y) qr - (\dot{r} + pq) I_{XZ} + (r' - q') I_{YZ} \\ + (pr - \dot{q}) I_{XY} + m \begin{pmatrix} y_G (\dot{w} - uq + vp) \\ -z_G (\dot{v} - wp + ur) \end{pmatrix} = \sum K \end{aligned} \quad (4-3)$$

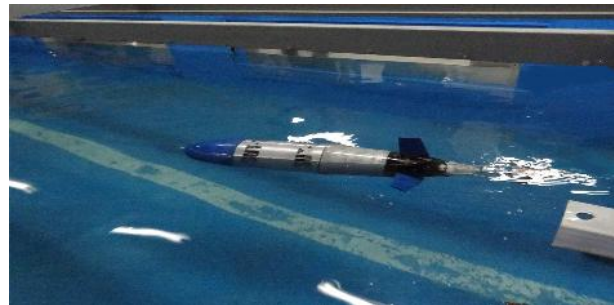
$$\begin{aligned} I_Y \dot{q} + (I_x - I_z) rp - (\dot{p} + qr) I_{XY} + (p' - r') I_{xz} \\ + (qp - \dot{r}) I_{YZ} + m \begin{pmatrix} z_G (\dot{u} - vr + wq) \\ -x_G (\dot{w} - uq + vp) \end{pmatrix} = \sum M \end{aligned} \quad (5-3)$$

$$\begin{aligned} I_Z \dot{r} + (I_Y - I_X) pq - (\dot{q} + rp) I_{YZ} + (q' - p') I_{YX} \\ + (rp - \dot{p}) I_{XZ} + m \begin{pmatrix} x_G (\dot{v} - wp + ur) \\ -y_G (\dot{u} - vr + wp) \end{pmatrix} = \sum N \end{aligned} \quad (6-3)$$

سمت راست معادلات بالا همان نیروها و گشتاورهای خارجی است که با روابط ۱-۴ تا ۶-۴ قابل محاسبه‌اند:

$$\begin{aligned} \sum X = X_{HS} + X_{u|u|} u |u| + X_{u\dot{u}} + X_{wq} wq \\ + X_{qq} qq + X_{vr} vr + X_{rr} rr + X_{Thrust} \end{aligned} \quad (1-4)$$

$$\begin{aligned} \sum Y = Y_{HS} + Y_{v|v|} v |v| + Y_{r|r|} r |r| + Y_v \dot{v} + Y_r \dot{r} \\ + Y_{ur} ur + Y_{wp} wp + Y_{pq} pq + Y_{uv} uv + Y_{\delta r} \delta r \end{aligned} \quad (2-4)$$



شکل ۳. زیرسطحی ۲.SUT-۲

جنس بدنه با توجه به ملاحظاتی چون عمق‌کاری، وزن و خنک‌کاری انتخاب شده است. بدین صورت که تمامی قسمت‌های بدنه دارای ضخامت ۱ سانتی‌متر است. دماغه و دم از جنس PVC و استوانه‌ی میانی آلومینیومی است. [۱۶] سیستم راش زیرسطحی به صورت تک‌موتوری است که نیروی پیشرانش توسط یک موتور DC تأمین می‌شود. هدایت و کنترل این زیرسطحی به وسیله‌ی چهار سکان پروفیل NACA ۰۰۱۵ انجام می‌شود. سرو‌موتور برای حرکت سکان‌ها استفاده می‌شود. در شکل ۳ زیرسطحی ساخته شده SUT-۲ نمایش داده شده است.

۳. شبیه‌سازی دینامیکی

برای شبیه‌سازی حرکت وسایل زیرسطحی سه گام اساسی لازم است: ۱. تعریف دستگاه‌ها و تدوین معادلات حرکت که در واقع بیان‌کننده‌ی حرکت‌اند؛ ۲. تخمین ضرایب هیدرودینامیکی برای توسعه‌ی معادلات نیرو و ممان؛ ۳. حل معادلات و اعتبارسنجی. معادلات حرکتی ۶ درجه آزادی از نوع معادلات دیفرانسیل غیرخطی معمولی است که با استفاده از روش‌های محاسباتی استاندارد به سادگی قابل حل است. [۱۷] در اینجا معادلات حرکت زیرسطحی در مشخصات محلی (متصل به بدنه) نوشته می‌شود. به این ترتیب مشخصات جرمی و ممان اینرسی تغییر نخواهد کرد. معمولاً مرکز دستگاه مشخصات محلی منطبق بر مرکز شناوری انتخاب می‌شود. در شکل ۴ مشخصات محلی و کلی نشان داده شده است. [۱۸] معادله‌ی حرکت براساس قانون نیوتون، به صورت رابطه‌ی ۱ نوشته می‌شود. [۱۹] سمت راست معادله‌ی ۱ برای مجموع نیروهای خارجی است که شامل بخش‌های معادله‌ی ۲ است.

$$M_{RB} \dot{v} + C_{RB(v)} v = \tau_{RB} \quad (1)$$

$$\tau_{RB} = \tau - M_A \dot{v} - C_{A(v)} v - D_{(v)} v - g_{(\eta)} \quad (2)$$

بنابراین، شتاب در لحظه‌ی t مطابق رابطه‌ی ۹ محاسبه می‌شود:

$$\dot{v}(t_0) = M_t^{-1} C_{(t_0)} \quad (9)$$

که در آن C مجموع سایر جملات است که مقدار آنها در لحظه‌ی t با توجه به سرعت اولیه و روابط ۴ به دست می‌آید.
براساس معادلات ارائه شده در فوق، برنامه‌ی شبیه‌سازی تدوین و حرکت زیرسطحی مورد بررسی قرار گرفته است. لازم به ذکر است این کد شبیه‌سازی با فرض حرکت زیرسطحی مغروق در عمق آب در محیط شبیه‌ساز نرم‌افزار متلب نوشته شده، و حرکت سطحی را شبیه‌سازی نمی‌کند.

۴. معرفی روش شناسایی سیستم در حوزه‌ی فرکانس

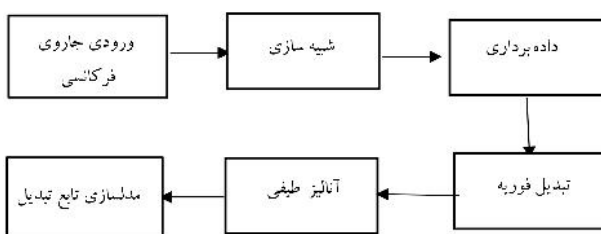
«شناسایی دینامیکی سیستم در حوزه‌ی فرکانس» عبارت است از تعیین یک سیستم خطی معادل براساس مشاهدات ورودی - خروجی. در این روش معمولاً از نمودار بود^۴ در راستای بررسی همسازی نتایج آزمون با شناسایی استفاده می‌شود. پس از جمع‌آوری داده‌های مانور و سیله باید این داده‌ها مورد آنالیز طیفی واقع شود. در شکل ۵ چارت گردشی شناسایی سیستم به روش پاسخ فرکانسی استفاده شده در این نوشتار نشان داده شده است. دو مشخصه‌ی کلیدی آنالیز طیفی تبدیل فوریه گسته سریع و بهینه‌سازی ترکیب پنجره‌هاست.

۱.۴. تبدیل فوریه گسته سریع

با اعمال تبدیل فوریه به داده‌های زمانی، پاسخ‌های فرکانسی به دست می‌آیند. استفاده از تبدیل فوریه اولین گام شناسایی دینامیک های غیرخطی و تبدیل آن به یک مدل ساده خطی است. تبدیل فوریه ی گسته چنین بیان می‌شود:

$$X(f_k) = \Delta t \sum_{n=0}^{N-1} x_n \exp\left(-\frac{2\pi j(kn)}{N}\right) \quad (10)$$

که در آن N برابر تعداد نقاط فرکانسی است. تبدیل دیگری به نام فوریه گسته سریع وجود دارد که هزینه‌ی محاسباتی آن در مقایسه با تبدیل فوریه کمتر است، زیرا از ذخیره‌ی اطلاعاتی مراحل قبل و تعداد نقاط فرکانسی کمتر بهره می‌گیرد. رابطه‌ی تبدیل فوریه گسته سریع در حقیقت همان رابطه‌ی تبدیل فوریه گسته (رابطه‌ی ۱۰) است، با این تفاوت که با استفاده از الگوریتم بالوشنین^۵ حجم محاسبات به صورت زیرکاوش می‌باشد. در این رابطه kn به صورت رابطه ۱۱ تعریف می‌شود. با جایگذاری رابطه‌ی ۱۰ در رابطه‌ی ۱۱، رابطه‌ی ۱۲ به دست می‌آید. در این رابطه عبارت اول تابع نمایی $(\exp(\frac{-\pi j k}{N}))$ یکبار محاسبه شده و در حافظه قرار می‌گیرد و تا پایان محاسبات دیگر محاسبه نمی‌شود. عبارت دوم و سوم تابع نمایی



شکل ۵. چارت شناسایی سیستم به روش پاسخ فرکانسی این نوشتار.

$$\begin{aligned} \sum Z = & Z_{HS} + Z_{w|w} w |w| + Z_{q|q} q |q| + Z_w \dot{w} + Z_q \dot{q} \\ & + Z_{uq} uq + Z_{vp} vp + Z_{rp} rp + Z_{uw} uw + Z_{\delta s} \delta s \end{aligned} \quad (3-4)$$

$$\sum K = K_{HS} + K_p \dot{p} + K_{Thrust} \quad (4-4)$$

$$\begin{aligned} \sum M = & M_{HS} + M_{w|w} w |w| + M_{q|q} q |q| + M_w \dot{w} + M_q \dot{q} \\ & + M_{uq} uq + M_{vp} vp + M_{rp} rp + M_{uw} uw + M_{\delta s} \delta s \end{aligned} \quad (5-4)$$

$$\begin{aligned} \sum N = & N_{HS} + N_{v|v} v |v| + N_{r|r} r |r| + N_v \dot{v} + N_r \dot{r} \\ & + N_{ur} ur + N_{wp} wp + N_{pq} pq + N_{uv} uv + N_{\delta r} \delta r \end{aligned} \quad (6-4)$$

معادلات ۴ شامل ضرایب هیدرودینامیکی است که باید به روش آزمون یا حل عددی، یا روش‌های تحلیلی و نیمه‌تجربی محاسبه شود.^[۱۷, ۱۸] ضرایب زیرسطحی SUT-۲ با استفاده از این روش‌ها به دست آمده و درنتیجه می‌توان با استفاده از آنها حرکت زیرسطحی را شبیه‌سازی کرد.^[۱۸] اندس HS در معادلات ۴ مربوط به نیرو و ممان هیدروداستاتیکی یا همان نیروهای بازدارنده است که چنین محاسبه می‌شود:

$$g(\eta) = \begin{bmatrix} (W - B) s\theta \\ -(W - B) c\theta s\phi \\ -(W - B) c\theta c\phi \\ -(y_G W - y_B B) c\theta c\phi + (z_G W - z_B B) c\theta s\phi \\ (z_G W - z_B B) s\theta + (x_G W - x_B B) c\theta c\phi \\ (x_G W - x_B B) c\theta s\phi - (y_G W - y_B B) s\theta \end{bmatrix} \quad (5)$$

عبارت پیش‌رانش ناشی از دوران پروانه‌ی نصب شده در انتهای دم نیز چنین محاسبه می‌شود:

$$\tau = [\rho D^4 K_T J, n^1, 0, 0, \rho D^5 K_Q J, n^1, 0, 0]^T \quad (6)$$

که با مشخص شدن ضرایب معادلات ۴ با جداسازی جملات شتاب، معادلات به صورت معادله‌ی ۷ نوشته می‌شود، به طوری که ماتریس M_t عبارت خواهد بود از:

$$\begin{bmatrix} \dot{u} \\ \dot{v} \\ \dot{w} \\ \dot{p} \\ \dot{q} \\ \dot{r} \end{bmatrix} = [M_t]^{-1} \begin{bmatrix} \sum X \\ \sum Y \\ \sum Z \\ \sum K \\ \sum M \\ \sum N \end{bmatrix} \quad (7)$$

$$M_t =$$

$$\begin{bmatrix} m - X_{\dot{u}} & \circ & \circ & \circ & mz_G & \circ \\ \circ & m - Y_{\dot{v}} & \circ & -mz_G & \circ & -Y_{\dot{r}} \\ \circ & \circ & m - Z_{\dot{w}} & \circ & Z_{\dot{q}} & \circ \\ \circ & -mz_G & \circ & I_X - K_{\dot{p}} & \circ & \circ \\ mz_G & \circ & -M_{\dot{w}} & \circ & I_Y - M_{\dot{q}} & \circ \\ \circ & -N_{\dot{v}} & \circ & \circ & \circ & I_z - N_{\dot{r}} \end{bmatrix} \quad (8)$$

که در آن n_r ضریب جبران افت انرژی سیگنال ناشی از استفاده از توابع وزن در تکنیک پنجره‌بندی است که مقدار آن برای تابع Hanning window $0,612$ است و n_r تعداد پنجره‌های است که از رابطه‌ی 22 به دست می‌آید. در این رابطه x_f ضریب همپوشانی پنجره‌های است که به منظور افزایش کیفیت شناسایی مورد استفاده قرار گرفته است.

$$n_r = 1 + \frac{\left(\frac{T_{rec}}{T_{win}}\right) - 1}{1 - x_f} \quad (22)$$

برای پنجره‌بی با اندازه‌ی بزرگ‌تر کمینه فرکانس مؤثر در شناسایی کاهش می‌یابد و بنابراین در فرکانس‌های پایین تر محتوای اطلاعاتی بهتری حاصل خواهد شد. از طرفی چون تعداد پنجره‌هایی که در محاسبات طیفی میانگین‌گیری می‌شوند نیز کاهش می‌یابد، خطای تصادفی افزایش می‌یابد. بر عکس پنجره‌ی با اندازه‌ی کوچک‌تر به معنی تعداد پنجره‌های بیشتری است که میانگین‌گیری شده و بنابراین خطای تصادفی را کاهش می‌دهد. بنابراین دقت شناسایی در فرکانس‌های بالا به خوبی افزایش یافته و لی منجر به کاهش محتوای اطلاعاتی در فرکانس‌های پایین تر خواهد شد. انتخاب ابعاد پنجره باید بین محتوای اطلاعاتی افزایش یافته در فرکانس‌های پایین و میزان خطای تصادفی کمتر در فرکانس‌های بالا تعادل برقار کشد. بنابراین انتخاب ابعاد مناسب پنجره‌ها نیاز به سعی و خطا دارد.

انتخاب طول نامی پنجره متناسب با بیشترین پریود مورد بررسی است. از طرفی حداقل فرکانس قابل شناسایی متناسب با ابعاد پنجره‌های است. در عمل به علت اختشاشات و همچنین ورودی‌های تاخوسته‌ی کنترلی، حداقل فرکانس شناسایی باید دو برابر مقدار معکوس طول پنجره باشد. لذا در هر پنجره دست‌کم دو پریود مفید باید از سیگنال مورد نظر به دام افتد. به عبارت دیگر:

$$T_{win} = 2T_{max} \quad (23)$$

واضح است که بیشینه‌ی ابعاد پنجره با اندازه‌ی کل زمان داده‌برداری شده برابر است. اما تجربه‌های عملی نشان داده که بیشینه‌ی ابعاد پنجره برای نتیجه‌گیری بهتر، باید از این مقدار کوچک‌تر باشد. به عنوان یک قانون سرانگشتی می‌توان گفت:

$$T_{win} \leq 0,5T_{rec} \quad (24)$$

و چنانچه از ورودی‌های متوالی برای شناسایی استفاده می‌شود:

$$T_{win} \leq 0,5T_F \quad (25)$$

کمترین طول پنجره باید یک باره 10 رادیان بر ثانیه از فرکانس را پوشش دهد (ین کمینه و بیشینه فرکانس مؤثر در شناسایی). براین اساس، کمینه اندازه‌ی پنجره را می‌توان با استفاده از رابطه‌ی 26 به دست آورد:

$$T_{win_{min}} > 20 \left(\frac{2\pi}{\omega_{max}} \right) \quad (26)$$

برای تعیین میزان کارآمدی تابع تبدیل به دست آمده، معیار تابع هزینه به صورت معادله‌ی 27 تعریف می‌شود؛ چنانچه این شاخص کمتر از 100 باشد نشان‌گر دقت بالای مدل شناسایی شده است.

$$J = \frac{20}{n_\omega} \sum_{\omega_1}^{\omega_{max}} \omega_\delta \left[\omega_g \left(|\widehat{T_C}| - |\hat{T}| \right)^2 + \omega_P \left(\angle \widehat{T_C} - \angle \hat{T} \right)^2 \right] \quad (27)$$

که داخل انتگرال در هم ضرب شده‌اند نیز برای هر فرکانس یکبار محاسبه شده و در حافظه قرار می‌گیرد و تا فرکانس بعدی دیگر محاسبه نمی‌شود؛ به همین دلیل حجم محاسبات بسیار کاهش می‌یابد.

$$nk = \frac{-(k-n)}{2} + \frac{n^2}{2} + \frac{k^2}{2} \quad (11)$$

$$X(f_k) = \Delta t e^{\left(\frac{-\pi j k}{N}\right)} \sum_{n=0}^{n-1} x_n e^{\left(\frac{-\pi j n}{N}\right)} e^{\left(\frac{-\pi j(k-n)}{N}\right)} \quad (12)$$

با استفاده از این تبدیل می‌توان توابع طیفی ورودی - خروجی را محاسبه کرد:

$$\hat{G}_{XX}(f) = \frac{2}{T} |X(f)|^2 \quad (13)$$

$$\hat{G}_{YY}(f) = \frac{2}{T} |Y(f)|^2 \quad (14)$$

$$\hat{G}_{XY}(f) = \frac{2}{T} |X(f) * Y(f)| \quad (15)$$

که تابع پاسخ فرکانسی به صورت معادله‌ی 16 تعریف می‌شود:

$$H(f) = \frac{\hat{G}_{XX}(f)}{\hat{G}_{XY}(f)} \quad (16)$$

ارزیابی شناسایی در حوزه‌ی فرکانس با استفاده از تابع همبستگی 6 صورت می‌گیرد. چنانچه مقدار این تابع از $0,6$ بزرگ‌تر باشد و رفتار نوسانی شدیدی نداشته باشد، شناسایی معتبر خواهد بود. این تابع با استفاده از رابطه‌ی 17 قابل محاسبه است:

$$\gamma_{xy} = \frac{|\hat{G}_{XY}(f)|}{|\hat{G}_{XX}(f)| |\hat{G}_{YY}(f)|} \quad (17)$$

۲.۴. بهینه‌سازی ترکیب پنجره‌ها

در فرایند شناسایی در حوزه‌ی فرکانس تعیین دقیق تابع طیفی بسیار اهمیت دارد، چون عملاً داده‌ها به اختشاش آلوده‌اند ممکن است بر تخمین تابع طیفی تأثیرگذار باشند. یک روش مناسب برای حذف خطاهای تصادفی 7 استفاده از تکنیک پنجره‌بندی است. در این روش با استفاده از متوسطگیری تابع در چند بازه مختلف، تخمین‌های طیفی یکنواختی تولید می‌شود.

$$T_{win} = \frac{T_{rec}}{n_r} \quad (18)$$

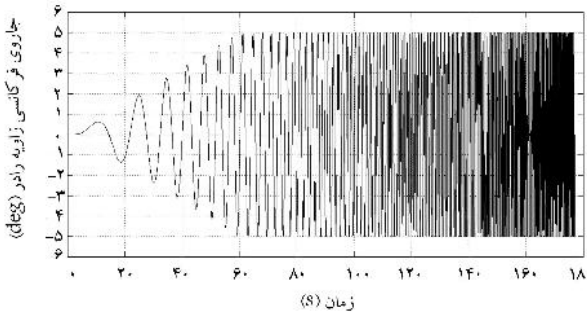
در معادله‌ی 18 T_{win} ، n_r و T_{rec} به ترتیب تعداد پنجره‌ها، اندازه‌ی هر پنجره، و مدت زمان داده‌برداری است. به منظور کاهش خطاهای طیفی می‌توان تاریخچه‌ی زمانی در هر پنجره را در تابع وزنی $(\omega(t))$ ضرب کرد و تاریخچه‌ی وزن دار داده‌ها را به دست آورد که در این نوشтар از تابع طیفی معادله‌ی 19 (به نام window) استفاده شده است:

$$\omega(t) = \frac{1}{2} (1 - \cos \omega(t)) \quad (19)$$

تخمین نهایی و نرم تابع طیفی ورودی - خروجی براساس رابطه‌ی 20 و 21 به دست خواهد آمد:

$$\hat{G}_{XX}(f) = \frac{1}{u * n_r} \sum_{k=1}^n \tilde{G}_{xx}(f) \quad (20)$$

$$\hat{G}_{YY}(f) = \frac{1}{u * n_r} \sum_{k=1}^n \tilde{G}_{YY}(f) \quad (21)$$



شکل ۷. ورودی جاروی فرکانسی.

و بیشینه فرکانس این ورودی مشخص است و به آنستگی تغییر می‌کند و بنابراین از لحاظ اینمی در مانور حائز اهمیت است.

براساس قوانین شناسایی سیستم بین بیشترین فرکانس کاری سیستم (ω_{\max})، فرکانس فیلترینگ (ω_f) و فرکانس داده‌برداری (ω_s) باید رابطه‌ی ۲۹ برقرار باشد.^[۱۹]

$$\omega_s \geq 5\omega_f \geq 5\omega_{\max} \quad (29)$$

در این تحقیق با توجه به این که بازه فرکانسی تحریک سیستم بین $۰^{\circ}/۶$ تا ۳۰° رادیان بر ثانیه است و داده‌برداری از طریق نرم‌افزار صورت می‌گیرد، با تنظیم $\Delta t = ۰,۰۰۱$ هر ترتیب شده است که معمراهای ذکر شده را رعایت کرده است. برای تولید جاروی فرکانسی می‌توان از معادلات ۳۰ تا ۳۳ بهره برد:

$$\delta_{sweep} = A \sin(\theta(t)) \quad (30)$$

$$\theta(t) = \int_0^{T_{record}} \omega(t) dt \quad (31)$$

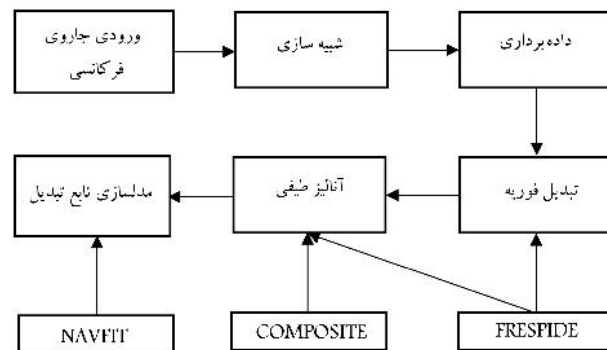
$$\omega(t) = \omega_{\min} + K (\omega_{\max} - \omega_{\min}) \quad (32)$$

$$K = ۰,۰۱۸۷ \left[\exp\left(\frac{t}{T_{rec}}\right) - 1 \right] \quad (33)$$

که در آن‌ها A دامنه‌ی سیگنال ورودی و T_{record} طول مدت زمان تحریک توسط جاروی فرکانسی است که با توجه به روابط گفته شده ۱۸۰ ثانیه در نظر گرفته شده است. در صورتی که مقدار A به طور ناگهانی افزایش یابد پاسخ زاویه‌ی y متقاضی نیست و حول نقطه‌ی دیگری نوسان می‌کند و دامنه‌ی تا ثانیه ۶۰ به صورت خطی افزایش می‌یابد. دامنه‌ی نهایی مقدار ۸۷ رادیان (۵ درجه) است. در شکل ۷ ورودی تولید شده نشان داده شده است. همچنین نتایج حاصل از اعمال ورودی جاروی فرکانسی برای ورودی سکان در بازه فرکانسی $۰,۲$ تا ۳۰ رادیان بر ثانیه در شکل‌های ۸ تا ۱۲ نشان داده شده است.

۶. نتایج حاصل از تحلیل پاسخ فرکانسی

نتایج حاصل از استخراج داده‌ها و استفاده از آنالیز طیفی در نرم‌افزار سایفر در شکل‌های ۱۳ تا ۱۷ نشان داده شده است. چنان‌که مشاهده می‌شود همه پاسخ‌ها به جز پاسخ ω از مقدار همبستگی قابل قبولی برخوردارند. مطابق انتظار پاسخ سرعت ω (شکل ۱۶) بهدلیل در نظر نگرفتن تأثیر تغییرات زاویه‌ی سکان در معادله‌ی ۱-۴ برای حرکت سرج، مقدار همبستگی پایینی دارد.



شکل ۶. اجزای مختلف نرم‌افزار سایفر در ارتباط با نمودار بلوكی شناسایی سیستم در این مطالعه.

در این رابطه ω_s ، تابع وزنده‌ی وابسته به تابع همبستگی است که بر داده‌هایی با قابلیت بالا تأکید می‌کند و عبارت است از:

$$\omega_s = [1,58(1 - e^{-\gamma_{xy}})]^n \quad (28)$$

همچنین ω_f و ω_s وزن‌های نسبی برای محدودر خطای دامنه و فاز هستند و طبق قرارداد،^[۱۹] مقدار آنها به ترتیب برابر ۱ و $۰,۱۷۴۵$ است. n تعداد نقاط فرکانسی است و معمولاً برابر ۲۰ انتخاب می‌شود.

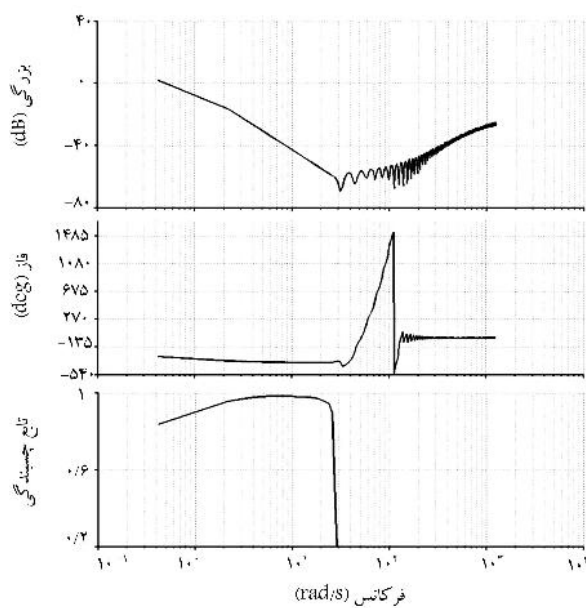
در این تحقیق به منظور انجام فرایند شناسایی در حوزه‌ی فرکانس از نرم‌افزار قدرتمند سایفر استفاده شده است. نرم‌افزار سایفر مرکب از چند زیربرنامه در راستای تولید داده‌های مناسب، انجام تبدیل‌های فوریه، ترکیب پنجره‌ها، شناسایی مدل تابع تبدیل، شناسایی مدل فضای حالت و نهایتاً ارزیابی مدل شناسایی است.

زیربرنامه‌ی FRESPID پاسخ‌های فرکانسی تک ورودی - تک خروجی را برای محدوده‌ی از پنجره‌های طیفی با استفاده از تبدیل فوریه گسترش سریع محاسبه، و آنها را در پایگاه پاسخ‌های فرکانسی ذخیره می‌کند. با این روش، تاریخچه زمانی به دست آمده از شیوه سازی به پاسخ فرکانسی سیستم تبدیل می‌شود. سپس با استفاده از زیربرنامه‌ی COMPOSITE فرایند بهینه‌سازی را برای پنجره‌های چندگانه انجام می‌دهیم تا پاسخ‌های فرکانسی نهایی با دقت بالا و خطای تصادفی کوچک تولید شود.

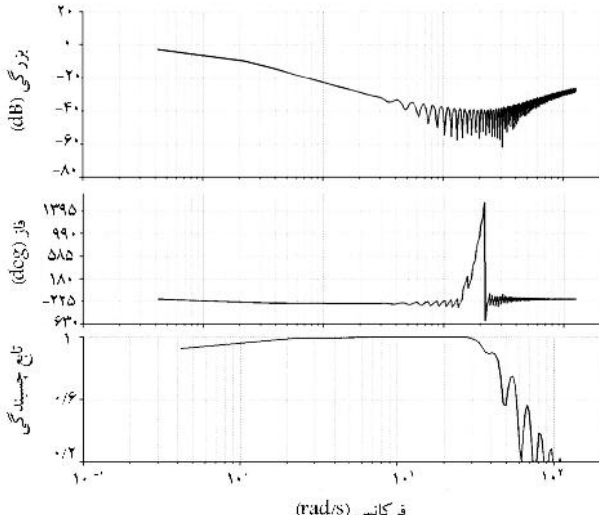
سپس با استفاده از زیربرنامه‌ی NAVFIT، مدل تابع تبدیل به صورت قطب و صفر شناسایی شده که به خوبی با پاسخ فرکانسی تک ورودی - تک خروجی همخوانی دارد. در شکل ۶ ارتباط اجزای مختلف نرم‌افزار سایفر با بلوك‌های متناظر خود در نمودار بلوكی شناسایی سیستم که در این نوشتار مورد استفاده قرار گرفته، نشان داده شده است.

۵. طراحی ورودی مناسب و داده‌برداری

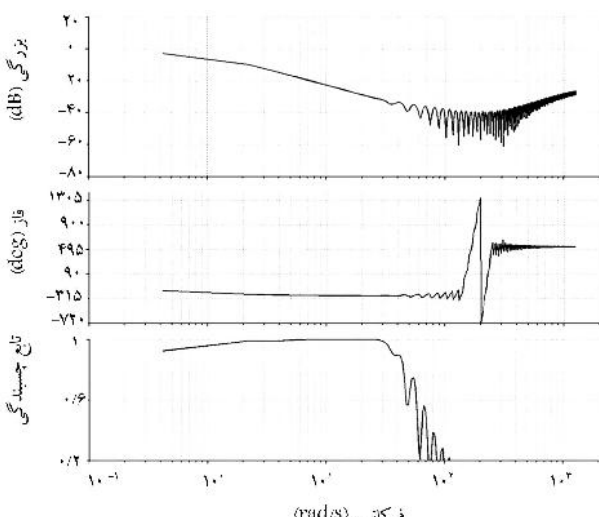
طراحی ورودی بهینه نیازمند آگاهی از ساختار مدل و خصوصیات دینامیکی آن است. منظور از ورودی بهینه ورودی است که بیشترین اطلاعات را در کمترین زمان از سیستم ایجاد کند. طراحی چنین ورودی‌هایی در وسائل بدون سرنشین و غیر متدالوی بسیار دشوار است. یکی از بهترین ورودی‌های بهینه در شناسایی سیستم جاروی فرکانسی است. جاروی فرکانسی در حقیقت یک ورودی بهینه با تابع چگالی طیف قدرت یکنواخت است که منجر به پاسخ‌های زمانی نیز می‌شود. کمینه



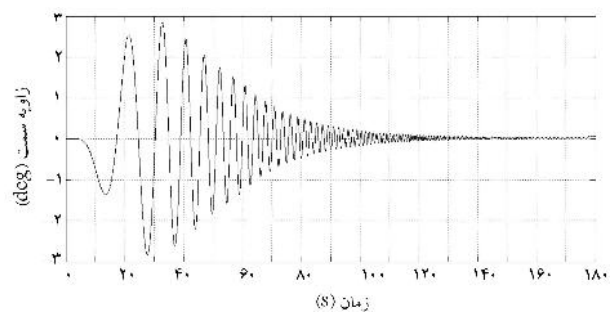
شکل ۱۳. پاسخ فرکانسی زاویه سمت.



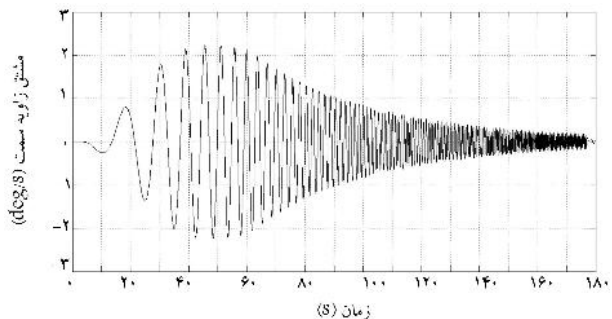
شکل ۱۴. پاسخ فرکانسی نرخ زاویه سمت.



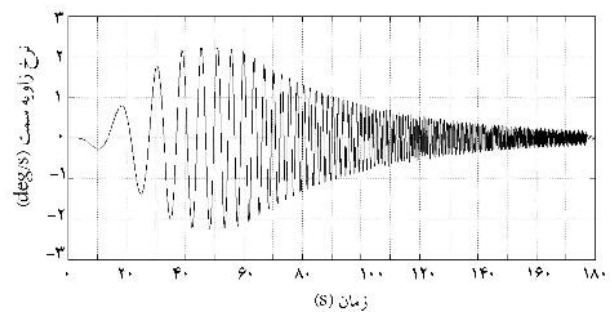
شکل ۱۵. پاسخ فرکانسی مشتق زاویه سمت.



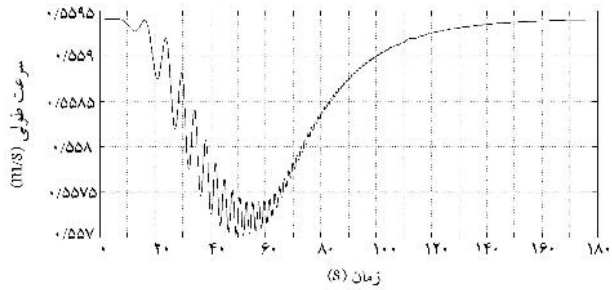
شکل ۸. تغییرات زاویه سمت نسبت به زمان در حرکت صفحه افق.



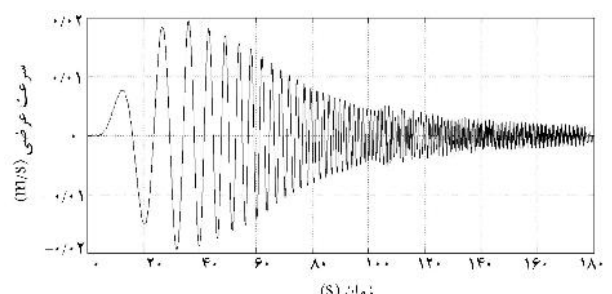
شکل ۹. تغییرات مشتق زاویه سمت نسبت به زمان در حرکت صفحه افق.



شکل ۱۰. تغییرات نرخ زاویه سمت نسبت به زمان در حرکت صفحه افق.



شکل ۱۱. تغییرات سرعت طولی نسبت به زمان در حرکت صفحه افق.



شکل ۱۲. تغییرات سرعت عرضی نسبت به زمان در حرکت صفحه افق.

۱.۶. پاسخ $\frac{\psi}{\delta_r}$

تابع تبدیل به دست آمده مربوط به این پاسخ به شکل رابطه‌ی ۳۴ است که طبق معیار ۲۷ تابع هزینه‌ی برابر با 3764° دارد.

$$\frac{\psi}{\delta_r} = \frac{-0,7345s - 0,3341}{s^2 + 1,304s + 0,7532s} \quad (34)$$

این تابع تبدیل دارای سه قطب و یک صفر پایدار است که یکی از قطب‌ها روی مبدأ و قطب مزدوج پایدار آن در نقاط $5729^{\circ}, 652^{\circ}$ و $5729^{\circ}, 652^{\circ}$ قرار دارد و تنها صفر این تابع تبدیل در نقطه‌ی 4549° است.

۲.۶. پاسخ $\frac{r}{\delta_r}$

تابع تبدیل به دست آمده مربوط به این پاسخ به شکل رابطه‌ی ۳۵ است که طبق معیار ۲۷ تابع هزینه‌ی برابر با 11186° است.

$$\frac{r(s)}{\delta_r(s)} = \frac{-0,7404s - 0,1289}{s^2 + 1,092s + 0,365} \quad (35)$$

این تابع تبدیل دارای دو قطب و یک صفر پایدار است که دو قطب در نقاط $2586^{\circ}, 546^{\circ}$ و $2586^{\circ}, 546^{\circ}$ قرار دارد و تنها صفر این تابع تبدیل نقطه‌ی 1741° است.

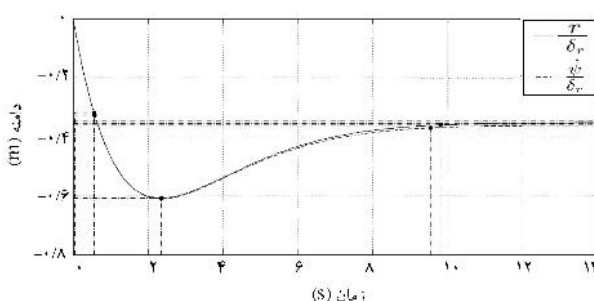
۳.۶. پاسخ $\frac{\dot{\psi}}{\delta_r}$

تابع تبدیل به دست آمده مربوط به این پاسخ به شکل رابطه‌ی ۳۶ است که طبق معیار ۲۷ تابع هزینه‌ی برابر با 11634° است.

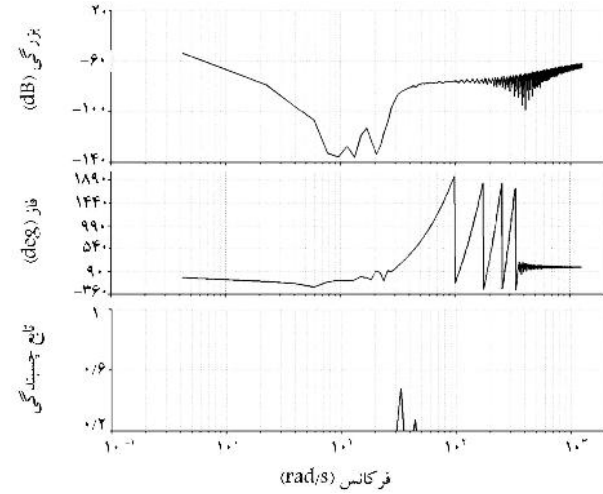
$$\frac{\dot{\psi}}{\delta_r} = \frac{-0,7397s - 0,1357}{s^2 + 1,096s + 0,374} \quad (36)$$

این تابع تبدیل دارای دو قطب و یک صفر پایدار است که دو قطب آن در نقاط $2715^{\circ}, 548^{\circ}$ و $2715^{\circ}, 548^{\circ}$ قرار دارد و تنها صفر این تابع تبدیل نقطه‌ی 1835° است. در شکل ۱۸ پاسخ ورودی پله‌ی تابع تبدیل ۳۵ و ۳۶، و در جدول ۴ نیز مشخصه‌های پاسخ گذرای این دو تابع تبدیل نشان داده شده است.

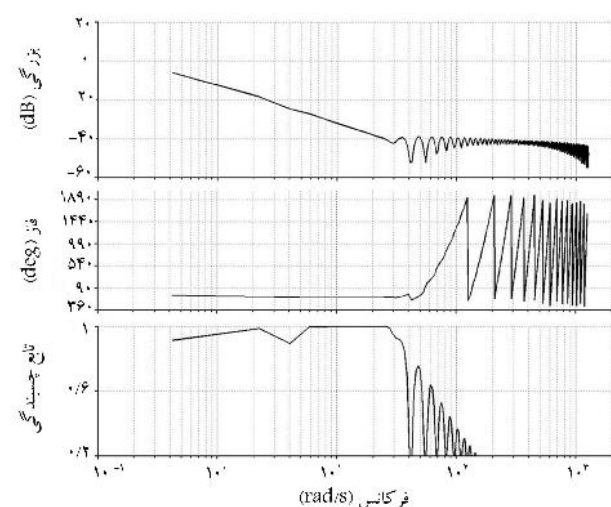
چنانچه صفو و قطب‌های تابع تبدیل $\frac{\dot{\psi}}{\delta_r}$ را با صفو و قطب‌های تابع تبدیل $\frac{r}{\delta_r}$ مقایسه کنیم متوجه می‌شویم که ضرایب این دو تابع تبدیل بسیار به هم نزدیک است و اختلاف جزئی میان آنها با توجه به استفاده از شبیه‌سازی غیرخطی در استخراج این توابع، قابل قبول است. چنان‌که در شکل ۱۸ مشاهده می‌شود پاسخ این دو تابع تبدیل بسیار به یکدیگر نزدیک، و تقریباً برابر است.



شکل ۱۸. پاسخ به ورودی پله.



شکل ۱۶. پاسخ فرکانسی سرعت طولی.



شکل ۱۷. پاسخ فرکانسی سرعت عرضی.

با توجه به تحلیل‌های زیر و با استفاده از پنجره‌های زمانی 15° , 20° و 30° ثانیه، اقدام به شناسایی سه پاسخ ψ , $\dot{\psi}$ و r شده است؛ نتایج حاصله برای پنجره‌های زمانی 15° ثانیه عبارت است از:

$$T_{win_{min}} > 20 \left(\frac{2\pi}{\omega_{max}} \right) \Rightarrow T_{win_{min}} > 4,18$$

$$T_{win_{max}} = \frac{2}{f_{min}} = \frac{4\pi}{\omega_{min}} = 62,83 \Rightarrow T_{win_{max}} < 62,83$$

$$T_{rec} > 4 * T_{max} \rightarrow 180 > 125,66$$

پس از به دست آوردن این پاسخ‌ها در زیربرنامه‌ی FRISPID، و حذف خطاهای زیربرنامه‌ی COMPOSITE، با استفاده از زیربرنامه‌ی NAVFIT تابع پاسخ فرکانسی مورد نظر به دست آمد. چنان‌که از پاسخ‌های فرکانسی پیداست دینامیک این زیرسنجی در محدوده‌ی فرکانسی $2^{\circ}/\sqrt{s}$ تا $30^{\circ}/\sqrt{s}$ رفتاری خطی با تابع همبستگی بالای 90% دارد که برای به دست آوردن تابع تبدیل از این محدوده استفاده شده است. پس از انجام فرایند مربوط به زیربرنامه‌ی NAVFIT تابع و نتایجی به دست آمد که در ادامه تشریح می‌شود.

با تنظیم دور موتور rpm ۶۰۰ سرعت u برای این زیرسطحی مقدار ۵۵۹۴ متر بر ثانیه به دست می‌آید که با جاگذاری آن در روابط بالا، مقدار ماتریس a, b و d در زیرسطحی SUT-۲ به دست می‌آید (جدول ۵). درنتیجه مقدار ماتریس A و B عبارت خواهد بود از:

$$A = \begin{bmatrix} -0,4729 & -0,1931 & 0 \\ 1,4055 & -0,877 & 0 \\ 0 & 1 & 0 \end{bmatrix}, \quad B = \begin{bmatrix} 0,784 \\ -2,336 \\ 0 \end{bmatrix}$$

برای دست یابی به توابع تبدیل $\frac{\psi(s)}{\delta_r(s)}$ و $\frac{r(s)}{\delta_r(s)}$ ، باید ماتریس‌های C و D را چنین تعریف کرد:

$$C = \begin{bmatrix} 0 & 1 & 0 \\ 0 & 0 & 1 \end{bmatrix}, \quad D = \begin{bmatrix} 0 \\ 0 \end{bmatrix}$$

در واقع با توجه به عبارت دوم معادلات فضای حالت (رابطه‌ی ۴۳) خروجی مورد نظر از طریق ماتریس C و D تعریف می‌شود.

$$[y] = [C][x] + [D][u] \quad (43)$$

بدین ترتیب با استفاده از ماتریس‌های A, B, C, D و دستورات نرم‌افزار متلب توابع تبدیل مطلوب به صورت روابط ۴۴ و ۴۵ به دست می‌آیند:

$$\Rightarrow \frac{r(s)}{\delta_r(s)} = \frac{-0,7311s - 0,0000848}{s^2 + 0,8734s + 0,2874} \quad (44)$$

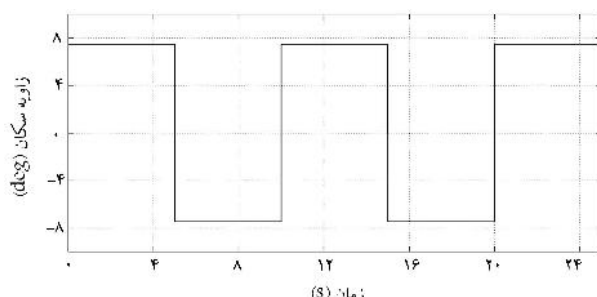
$$\Rightarrow \frac{\psi(s)}{\delta_r(s)} = \frac{-0,7311s - 0,0000848}{s^2 + 0,8734s + 0,2874s} \quad (45)$$

۸. مقایسه‌ی نتایج

در ادامه، برای مقایسه‌ی توابع به دست آمده از مدل سایفر و مدل حاصل از خطی‌سازی، یک ورودی زیگ‌زاگ مطابق شکل ۱۹ به این توابع و مدل شبیه‌سازی اصلی اعمال شده که نتایج آن در شکل ۲۰ نشان داده شده است.

جدول ۵. ضرایب محاسبه شده برای ماتریس‌ها، b و d.

-17,88	b ₁₂	70,95	a ₁₁
10,33	b ₂₁	4,77	a ₁₂
-4,12	b ₂₂	-4,77	a ₂₁
44,47	d ₁₁	5,74	a ₂₂
-17,17	d ₂₁	26,84	b ₁₁



شکل ۱۹. ورودی زیگ‌زاگ اعمالی به سکان.

جدول ۴. مقایسه‌ی پارامترهای توابع تبدیل ۳۵ و ۳۶ در پاسخ به ورودی پله.

پارامترها	پاسخ $\frac{\psi}{\delta_r}$	پاسخ $\frac{r}{\delta_r}$
زمان خیزش (s)	۰,۵۲۳	۰,۵۰۴
حداکثر دامنه	-۰,۶۱	-۰,۶۰۸
درصد حداکثر پرش	۶۸,۱	۷۲,۱
زمان حداکثر دامنه (s)	۲,۳۵	۲,۳۶
زمان نشست (s)	۹,۵۴	۹,۸۱

با مقایسه‌ی نتایج دو تابع تبدیل ۳۵ و ۳۶ می‌توان گفت در محدوده‌ی فرکانسی ذکر شده در این تحقیق رابطه‌ی ساده شده‌ی ۳۶ برقرار است.

$$r = \psi \quad (37)$$

۷. توابع $\frac{r}{\delta_r}$ و $\frac{\psi}{\delta_r}$ به دست آمده از خطی‌سازی معادلات حرکت

معادلات ۴ که بیان‌گر حرکت در صفحه‌ی افق هستند، پس از حذف عبارات غیرخطی و صرف نظر از سرعت‌های هیو، سوی، رول و پیچ به روابط ساده شده‌ی ۳۸ و ۳۹ تبدیل می‌شوند.

$$m(\dot{v} + ur + x_G \dot{r}) = Y_r \dot{r} + Y_v \dot{v} + Y_r ur + Y_v uv + Y_{\delta_r} u^\dagger \delta_r \quad (38)$$

$$I_z \dot{r} + mx_G \dot{v} + mx_G ur = N_r \dot{r} + N_v \dot{v} + N_r ur + N_v uv + N_{\delta_r} u^\dagger \delta_r \quad (39)$$

معادلات ۳۸ و ۳۹ را با فرض سرعت ثابت طولی U می‌توان به صورت معادله‌ی ۴۰ نوشت:

$$\begin{bmatrix} a_{11} & a_{12} & 0 \\ a_{21} & a_{22} & 0 \\ 0 & 0 & 1 \end{bmatrix} \begin{bmatrix} \dot{v} \\ \dot{r} \\ \dot{\psi} \end{bmatrix} = \begin{bmatrix} b_{11} & b_{12} & 0 \\ b_{21} & b_{22} & 0 \\ 0 & 0 & 1 \end{bmatrix} \begin{bmatrix} v \\ r \\ \psi \end{bmatrix} + \begin{bmatrix} Y_{\delta_r} \\ N_{\delta_r} \\ 0 \end{bmatrix} \delta_r \quad (40)$$

معادله‌ی ۴۰ را نیز می‌توان به شکل فضای حالت معادله‌ی ۴۱ نوشت:

$$[a][\dot{x}] = [b][x] + d[u] \Rightarrow [a]^{-1}[a][\dot{x}] = [a]^{-1}[b][x] + [a]^{-1}[d][u] \Rightarrow [\dot{x}] = [A][x] + [B][u] \quad (41)$$

ضرایب a_{iii} و b_{iii} نیز از روابط ۴۲ به دست می‌آید:

$$a_{11} = m - Y_v \quad (1-42)$$

$$a_{12} = mx_G - Y_r \quad (2-42)$$

$$a_{21} = mx_G - N_v \quad (3-42)$$

$$a_{22} = I_z - N_v \quad (4-42)$$

$$b_{11} = Y_v u. \quad (5-42)$$

$$b_{12} = (Y_r - m) u. \quad (6-42)$$

$$b_{21} = N_v u. \quad (7-42)$$

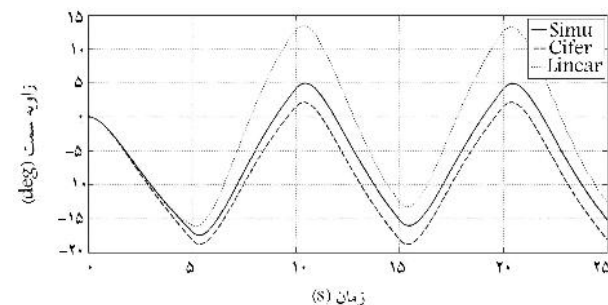
$$b_{22} = N_r u. - mx_G u. \quad (8-42)$$

خطا نشان‌گر بیشینه اختلاف و معادل ۱۲ درصد است. علت این امر وجود عبارات غیرخطی در مدل شبیه‌سازی و تأثیر آنها بر نتایج به صورت نویز سیستمی است. در شکل ۲۰ مشاهده می‌شود که بین مدل به دست آمده از سایفر و مدل به دست آمده از خطی‌سازی معادلات اختلاف وجود دارد که دلیل آن حذف عبارات غیرخطی است. اثبات این موضوع در شکل ۲۱ نشان داده است.

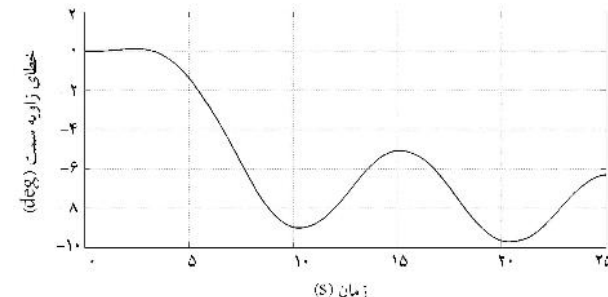
در این شکل زاویه‌ی سمت ایجاد شده توسط عبارات غیرخطی نشان داده شده، که تقریباً برایر مقدار اختلاف پاسخ خطی‌سازی شده از مقدار شبیه‌سازی غیرخطی ۲۰ است. به عبارت دیگر اگر نمودار شکل ۲۱ را با نمودار خط نقطه‌چین شکل ۲۰ جمع کنیم، تقریباً خط ممتد شکل ۲۰ به دست می‌آید؛ این مقدار خط با افزایش زمان بیشتر می‌شود چرا که مقادیر غیرخطی سرعت‌های v_7 و v_8 که در معادلات حرکت توان دو دارند و با مرور زمان افزایش می‌یابند، در مدل خطی حذف شده‌اند و درنتیجه باعث افزایش خطای شوند.

۹. نتیجه‌گیری

هدف این نوشتار به دست آوردن توابع تبدیل حرکت صفحه افقی یک زیرسطحی با استفاده از روش پاسخ فرکانسی برای طراحی کنترل‌کننده، به منظور مسیریابی زیرسطحی SUT-۲ بوده است. نکته‌ی مهم استفاده از این روش وجود بازه فرکانسی قابل قبول است که در آن مقدار همبستگی بیشتر از 86° باشد؛ در این تحقیق این بازه بین 20° تا 25° تعیین شده است. در این نوشتار علاوه بر به دست آوردن توابع تبدیل حرکت صفحه افقی، نشان داده شد که از توابع تبدیل به دست آمده از این روش نسبت به توابع تبدیل به دست آمده از روش خطی‌سازی از دقت بالاتری برخوردار است. همچنین نشان داده شد که در بازه فرکانسی ذکر شده استفاده از معادله‌ی 37 امکان‌پذیر است.



شکل ۲۰. مقایسه‌ی نتایج به دست آمده.



شکل ۲۱. زاویه‌ی یاو ایجاد شده در اثر عوامل غیرخطی.

چنان‌که در شکل ۲۰ مشاهده می‌شود خط ممتد زاویه‌ی سی است که از معادلات اصلی حرکت و از اعمال ورودی زیگزاگ به شبیه‌ساز به دست آمده است. خط نقطه‌چین نشان‌گر نتایج حاصل از اعمال ورودی زیگزاگ به تابع تبدیل حاصل از خطی‌سازی معادلات حرکت است. خط منقطع نیز نشان‌گر نتایج حاصل از اعمال ورودی زیگزاگ به تابع تبدیل به دست آمده از نرم‌افزار سایفر است. این میزان

پانوشت‌ها

1. Autonomous underwater vehicles (AUV)
2. Matlab
3. Chirp-z
4. Bode
5. Bluestein's algorithm
6. Coherence
7. Random errors
8. Yaw

منابع (References)

1. Brutzman, D.P., *A Virtual World for an Autonomous Underwater Vehicle*, Chapter 2, Naval Postgraduate School (NPS), Monterey California (December 1994).
2. Healey, A.J., *Dynamics of Marine Vehicle*, Naval Postgraduate School, Monterey California, Unpublished Course Notes (1993).
3. Yuh, J. "Modeling and control of underwater robotic vehicles", *IEEE Transactions on Systems, Man and Cybernetics*, **20**(6), pp. 1475-1483 (1990).
4. Shi, C., Zhao, D., Peng, J. and Shen, C. "Identification of ship maneuvering model using extended kalman filters", *International Journal on Marine Navigation and Safety of Sea Transportation*, **3**(1), pp.105-110 (2009).
5. Naeem, W., Sutton, R. and Chudley, J. "System identification, modelling and control of an autonomous underwater vehicle", Marine and Industrial Dynamic Analysis Research Group Department of Mechanical and Marine Engineering University of Plymouth, PL4 8AA, UK (2004).
6. Selvam, R.P., Bhattacharyya, S.K. and Haddara, M. "A frequency domain system identification method for linear ship maneuvering", *Int. Shipbuild. Progr.*, **52**(1), pp. 5-27 (2005).
7. Bhattacharyya, S.K. and Haddara, M.R. "Parametric identification for nonlinear ship maneuvering", *Journal of Ship Research*, **50**(3), pp. 197-207 (2006).

8. Banazadeh, A. and Ghorbani, M.T. "Frequency domain identification of the Nomoto model to facilitate Kalman filter estimation and PID heading control of a patrol vessel", *Journal of Ocean Engineering*, **72**, pp. 344-355 (2013).
9. Student version 5.4.00, *Comprehensive Identification from Frequency Responses (CIFER@)*, UARC, Ames Research Center, Downloadable from <http://uarc.ucsc.edu/flight-control/cifer>.
10. Lai, G. and Ziae, K. "Application of CIFER in a single flexible link manipulator system", Technical Report of University of Waterloo, pp. 1-61 (2003).
11. Lame, M.N. and Banazadeh, A. "Frequency domain identification of friction and backlash for servomechanisms", *Sharif Mechanical Engineering Journal*, **1**(3), pp. 31-40 (2014).
12. Sadeghzade, B., Rahimiyan, M., Sepahband, P. and Seif, M.S. "Design of AUV" **11**, p.68, MIC2009, Iran. Kish.
13. Lambert, J., *Computational Methods in Ordinary Differential Equations*, Cambridge University Press, New York, Wiley (1973).
14. Fossen, T.I., *Guidance and control of ocean vehicles*, John Wiley & Sons, Chichester England (1994).
15. Prestero, T. "Verification of a six-degree of freedom simulation model for the REMUS autonomous underwater vehicle", Master's Thesis, University of California at Davis (2001).
16. de Barros, E.A., Pascoal, A. and de SA, E. "Investigation of a method for predicting AUV derivatives", *Ocean Engineering*, **35**, pp. 1627-1636 (2008).
17. Sarkar, T., Sayer, P.G. and Fraser, S.M. "A study of autonomous underwater vehicle hull forms using computational fluid dynamics", *International Journal For Numerical Methods in Fluids*, **25**(11) pp. 1301-1313 (1997).
18. Sadeghzade, B., Mehdigholi, H. and Seif, M.S. "Numerical modeling on AUVs body and evaluation of hydrodynamic forces", **11**, p.73 MIC2009, Iran. Kish.
19. Tischler, M.B. and Remple, R.K. "Aircraft and rotorcraft system identification: Engineering methods with flight test examples (AIAA education series)", American Institute of Aeronautics and Astronautics, Inc., Reston, Virginia (2006).